

## کاربرد منطق فازی در تشخیص تپش قلب نامنظم با استفاده از نوار قلب

آرمین شوقی، محمدباقر دولتشاهی\*

گروه مهندسی کامپیوتر، دانشکده فنی و مهندسی، دانشگاه لرستان

### چکیده

الکتروکاردیوگرام از مهمترین سیگنال‌های حیاتی است که توسط پزشکان برای اهداف تشخیصی مورد استفاده قرار می‌گیرد. این سیگنال‌ها اطلاعات کلیدی درباره فعالیت الکتریکی قلب فراهم می‌آورند که ثبت و نمایش آن‌ها در طول زمان، منجر به مشاهده تغییرات فعالیت قلب می‌گردد. امروزه طبقه‌بندی این سیگنال‌ها کاربرد وسیعی در علوم پزشکی و تشخیص بیماری‌ها دارد و استفاده از روش‌های خودکار آنالیز آن‌ها با بهره‌گیری از تکنیک‌های مبتنی بر رایانه، تجزیه و تحلیل خودکار شکل و الگوی شکل موج سیگنال‌های قلب می‌تواند به پزشکان در تشخیص نوع بیماری کمک بسیاری نماید. تکنیک‌های مختلفی برای طبقه‌بندی بیماری‌های قلبی که به صورت بی‌نظمی ضربان‌های قلب شاخته می‌شوند، تا به حال ارائه شده است. این مقاله با هدف بررسی توسعه تکنیک‌های مختلف طبقه‌بندی بی‌نظمی ضربان‌های قلبی بر اساس منطق فازی به همراه بحث در مورد تکنیک‌های پذیرفته شده، انجام شده است.

### ۱ مقدمه

طبق گزارشات سازمان بهداشت جهانی، بیماری‌های قلبی عروقی یکی از مهمترین دلایل مرگ و میر در سراسر جهان هستند که در میان این بیماری‌ها، بی‌نظمی ضربان‌های قلبی راچج‌ترین نوع بیماری محسوب می‌شود. از میان ۵۰ میلیون فوت که سالیانه اتفاق می‌افتد، ۲۰ میلیون آن‌ها به دلیل بیماری‌های قلبی و عروقی است [۶۹]. به این ترتیب، طبقه‌بندی دقیق این سیگنال‌ها

Mathematics Subject Classification (2010): 68T10, Email: Dowlatshahi.mb@lu.ac.ir.

عبارات و کلمات کلیدی: تپش قلب، نوار قلب، منطق فازی

(انجمن سیستم‌های فازی ایران) ۱۳۹۹

مورد توجه بسیاری از مطالعات زیست‌پژوهی قرار گرفته است. یکی از موثرترین ابزارها برای شناسایی این بیماری‌ها تجزیه و تحلیل سیگنال‌های نوار قلب است. تجزیه و تحلیل نوار قلب فردی می‌تواند اشکال مشخصه، ویژگی‌های مورفولوژیکی و اطلاعات بالینی با همبستگی معنی‌داری برای تشخیص خودکار یک الگوی نوار قلب فراهم کند. عملیات تجزیه و تحلیل سیگنال‌های قلب بسته به کاربرد شامل چندین مرحله مانند پیش‌پردازش [۶۴، ۶۵، ۴۶] استخراج ویژگی‌ها [۵۷، ۴۸، ۴۰]، انتخاب ویژگی‌ها [۲۳، ۶، ۲۴، ۵۳، ۱۶] تغییر ویژگی‌ها و طبقه‌بندی [۱۴، ۵۶] است. با این حال، طبقه‌بندی خودکار ضربان‌های نوار قلب یک مسئله‌ی دشوار است، زیرا سیگنال‌های نوار قلب دارای ویژگی‌های مورفولوژیکی و زمانی متفاوتی برای بیماران مختلف در شرایط جسمی مختلف هستند.

در این مقاله قصد داریم در مورد طبقه‌بندی سیگنال‌های قلبی با استفاده از روش‌های مبتنی بر منطق فازی و بررسی راهکارهای پذیرفته شده در این حوزه بپردازیم. ساختار مقاله به صورت زیر سازماندهی شده است. در بخش ۲ به بررسی مفاهیم پایه پرداخته می‌شود. در بخش ۳ به تشریح مجموعه داده‌های مشهور حوزه تشخیص تپش قلب می‌پردازیم. در بخش ۴ به تشریح روش‌های موجود دسته‌بندی تپش قلب بر اساس منطق فازی پرداخته می‌شود. در نهایت در بخش ۵ نتیجه‌گیری آورده خواهد شد.

## ۲ مفاهیم پایه

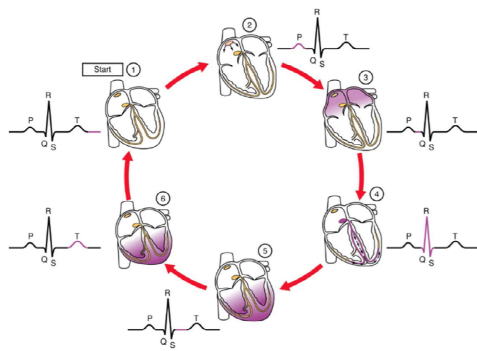
### ۱.۲ سیگنال‌های نوار قلب

نمونه سیگنال‌های نوار قلب مرتبط با یک چرخه‌ی قلبی مشترک در شکل ۲ نشان داده شده است. بخش ۱ شکل ۲ نشان دهنده‌ی شروع فرایند چرخه‌ی قلب با انقباض گره سینوس دهلیزی که به عنوان یک ضربان‌ساز طبیعی عمل می‌کند، می‌باشد. بخش ۲ شکل ۲ نشان دهنده‌ی موج P است. این موج وضعیت فعال شدن دهلیز را نشان می‌دهد که از تجزیه و تحلیل این بخش در تشخیص فلوت‌دهلیزی<sup>۱</sup> استفاده می‌شود. بخش ۳ از شکل ۲ نشان دهنده‌ی قطعه‌ی PQ می‌باشد

<sup>۱</sup>Atrial Flutter

که زمان فعال شدن دهلیز تا زمان فعال شدن بطن‌ها را اندازه‌گیری می‌کند. بخش ۴ شکل ۲ نشان دهنده‌ی مجموعه‌ی QRS می‌باشد که از سه موج Q و R و S تشکیل شده است. اولین موج آن کوتاه و به سمت پایین و منفی بوده و مربوط به دپلاریزاسیون<sup>۲</sup>

سپتوم<sup>۳</sup> است، موج دوم طولانی و باریک بوده و نشان دهنده‌ی دپلاریزاسیون بطن چپ است، موج سوم کوچک، رو به پایین و منفی بوده و مربوط به دپلاریزاسیون مناطق پایه و عقب بطن چپ می‌باشد. تغییرات این مجموعه حاکمی از وجود بیماری‌های قلبی مانند آریتمی، برافروختگی و حمله قلبی است. بخش ۵ از شکل ۲ قطعه‌ی ST را نشان می‌دهد که پس از موج S شروع شده و با موج T پایان می‌یابد. این قطعه مربوط به فاصله‌ی زمانی است که بطن‌ها منقبض شده و به استراحت باز می‌گردند و تجزیه و تحلیل آن می‌تواند مشکلات ایسکمیک<sup>۴</sup> را نشان دهد. بخش ۶ شکل ۲ نشان دهنده‌ی موج T است که بیانگر تغییر مجدد بطن‌ها یا به بیان دیگر نشان دهنده‌ی مدت زمانی است که بطن‌ها مرحله‌ی فعال‌سازی خود را به اتمام رسانده و آماده‌ی انجام انقباض جدید می‌باشند. این موج اطلاعاتی در مورد هیپرتروفی قلب<sup>۵</sup>، نارسایی قلبی و بیماری ایسکمیک قلب نشان می‌دهد [۴۵، ۲۶، ۸]



شکل ۱: چرخه قلبی [۲۶]

نتیجه‌ی این فعالیت‌ها، جریان‌های الکتریکی روی سطح بدن ایجاد می‌شوند و تغییرات

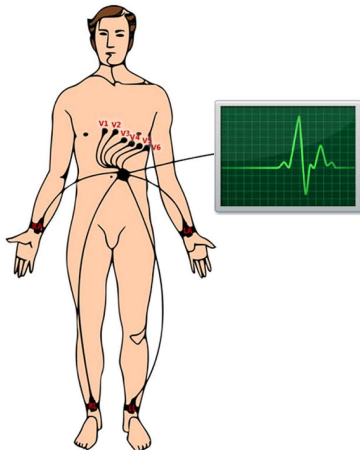
<sup>2</sup>Depolarization

<sup>3</sup>Septum

<sup>4</sup>Ischemic Problems

<sup>5</sup>Hypertrophy

پتانسیل الکتریکی، سطح پوست را تحریک می کنند. انتشار سیگنال های الکتریکی از الگوهایی پیروی می کند که با استفاده از الکتروکاردیوگرافی قابل اندازه گیری است [۶۲]. الکتروکاردیوگرافی <sup>۶</sup> شامل قرار دادن الکترود بر روی پوست بیماران است تا هرگونه فعالیت الکتریکی را که قلب آنها در طی مدت زمانی مشخص ایجاد می کند، ثبت کند. پیکربندی الکترودها در الکتروکاردیوگرافی معمولاً حاصل ترکیب ۵ الکترود به این صورت است که یکی از الکترودها روی بازوی چپ (LA) <sup>۷</sup>، یکی روی بازوی راست (RA) <sup>۸</sup>، دیگری در پای چپ (LL) <sup>۹</sup>، دیگری روی پای راست (RL) <sup>۱۰</sup> و دیگری روی سینه، به سمت راست بیرونی (V<sub>1</sub> یا V<sub>2</sub>) <sup>۱۱</sup> قرار می گیرد [۲۹]. روش دیگر اندازه گیری روشی است که از ۱۰ الکترود استفاده می کند، که در آن ۵ الکترود اضافی (علاوه بر V<sub>1</sub> یا V<sub>2</sub> روی قفسه سینه و RA، LL، RL، LA و V<sub>3</sub> روی پاهای و بازو های ) روی قفسه سینه (V<sub>3</sub> تا V<sub>6</sub>) قرار می گیرد. پیکربندی ۱۰ الکترود (۱۲ هد) را می توان در شکل ۲ مشاهده کرد [۵].



شکل ۲: پیکربندی ۱۰ الکترود (۱۲ هد) [۵]

<sup>۶</sup>Electrocardiography

<sup>۷</sup>Left Arm Lead

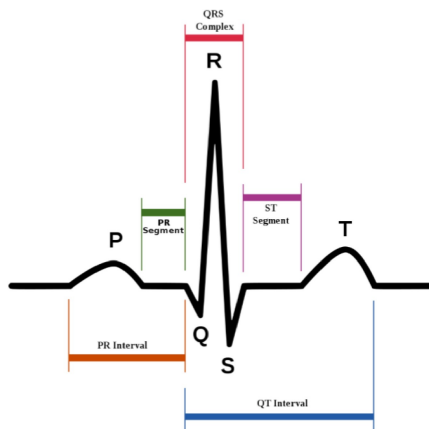
<sup>۸</sup>Right Arm Lead

<sup>۹</sup>Left Leg Lead

<sup>۱۰</sup>Right Leg Lead

<sup>۱۱</sup>Ventricle

شکل ۳، چهار قسمت از سیگنال نوار قلب معمولی را نشان می‌دهد. این سیگنال شامل یک موج P ، یک مجموعه QRS ، یک موج T و یک موج U است که همه‌ی آن‌ها دارای الگوهای ظاهری جداگانه‌ای هستند و قابل تشخیص می‌باشند [۴]. عملکرد عالی یک الگوریتم طبقه‌بندی نوار قلب تا حد زیادی به تشخیص دقیق و قابل اعتماد مجموعه QRS ، همراه با امواج T و P بستگی دارد [۴۵].



شکل ۳: مشخصات یک پیک از نوار قلب [۴]

## ۲.۲ بی‌نظمی قلبی

به ریتم غیرطبیعی قلب بی‌نظمی قلبی یا آریتمی گفته می‌شود که به دلیل تغییر در ترتیب طبیعی ضربان‌های الکتریکی قلب اتفاق می‌افتد. بی‌نظمی ممکن است در اتاک‌های فوقانی و تحتانی قلب اتفاق بیفتد و از طرفی بی‌نظمی در بطن‌ها یک تهدید جدی برای زندگی محسوب می‌شود [۵۶]. انواع مختلف بی‌نظمی قلبی عبارتند از:

- (۱) ریتم سینوسی عادی (NSR)<sup>۱۲</sup> : نمایش ریتم قلب معمولی از گره سینوس منشا می‌گیرد. معمولاً ضربان منظم قلب بسته به ورودی‌ها به گره سینوس ممکن است متفاوت باشد.

---

<sup>12</sup>Normal Sinus Rhythm

(۲) ضربان های زودرس (Extra) : شایع ترین نوع بی نظمی است که هیچ علائمی ندارد و بی ضرر است. افراد احساس لرز در سینه یا ضربان قلب از دست رفته می کنند. این ضربان ها انقباضات زودرس دهلیزی (PAC)<sup>۱۳</sup> و انقباضات زودرس بطن (PVC)<sup>۱۴</sup> را تشکیل می دهند.

(۳) بی نظمی فوق بطنی<sup>۱۵</sup> : وضعیتی است که در دهلیز با ضربان قلب سریع شروع می شود. انواع مختلفی از بی نظمی فوق بطنی عبارتند از فیبریلاسیون دهلیزی (AF)<sup>۱۶</sup> ، فلوتور دهلیزی، تاکی کارדי فوق عروقی پاروکسیسمال (PSVT)<sup>۱۷</sup> و سندرم ول夫 پارکینسون وايت<sup>۱۸</sup>.

(۴) بی نظمی بطنی<sup>۱۹</sup> : انواع بی نظمی بطنی عبارت است از فلوتور بطنی، تاکی کارדי بطنی (VT)<sup>۲۰</sup> ، فیبریلاسیون بطنی (VF)<sup>۲۱</sup> . این شرایط تهدیدکننده باید با شوک دفیبریلاتور برای نجات زندگی درمان شود.

(۵) اختلال عملکرد گره سینوس<sup>۲۲</sup> : مشکلات مربوط به گره سینوس قلب منجر به ضربان آهسته قلب می شود. افراد مبتلا به این نوع بی نظمی ممکن است به ضربان ساز احتیاج داشته باشند.

(۶) بلوک قلب : این وضعیت ممکن است در گره AV<sup>۲۳</sup> یا سیستم HPS<sup>۲۴</sup> به دلیل انسداد کامل در مسیر هدایت رخ دهد. ضربان قلب آهسته و نامنظم می شود و ممکن است نیاز به یک ضربان ساز برای درمان باشد.

<sup>13</sup>Premature Atrial Complex

<sup>14</sup>Premature Ventricular Contraction

<sup>15</sup>Supraventricular Tachycardia

<sup>16</sup>Atrial Fibrillation

<sup>17</sup>Paroxysmal Supraventricular Tachycardia

<sup>18</sup>Wolff Parkinson White

<sup>19</sup>Ventricular Arrhythmias

<sup>20</sup>Ventricular Tachycardia

<sup>21</sup>Ventricular Fibrillation

<sup>22</sup>Sinus node Dysfunction

<sup>23</sup>Atrioventricular

<sup>24</sup>His-Purkinje System

(۷) ناهنجاری هدایت عمدتاً در سمت چپ یا راست بطن‌ها به نام انسداد شاخه‌ای رشته‌ی راست<sup>۲۵</sup> (RBBB) یا انسداد شاخه‌ای رشته‌ی چپ<sup>۲۶</sup> (LBBB) رخ می‌دهد.

## ۳.۲ منطق فازی

مفهوم و مطالعه در مورد منطق فازی از سال ۱۹۲۰ آغاز شد ولی عبارت منطق فازی اولین بار توسط پروفسور لطفی عسگرزاده<sup>۲۷</sup> در سال ۱۹۶۵ (۱۹۶۵-۱۹۷۰) در دانشگاه برکلی به کار رفت [۶۸]. ایشان با توجه به منطق به کار رفته در دستگاه‌های دیجیتال، متوجه شد که این دستگاه‌ها توانایی شبیه‌سازی تفکرات و ایده‌های ذهن انسان را دارا نیستند و نمی‌توانند انسان فکر کنند، زیرا منطق دیجیتال برای هر تصمیم فقط دو وضعیت درست (True) و غلط (False) را در نظر می‌گیرد، در حالی که تفکر انسانی درجهاتی از درستی یا نادرستی را برای تصمیم محسوب می‌کند. می‌توان رویکرد منطق فازی را به شکلی تصور کرد که به جای در نظر گرفتن دو وضعیت مثلاً سیاه یا سفید، طیفی از رنگ خاکستری را جایگزین کرد که از یک طرف به رنگ سفید و از طرف دیگر به رنگ سیاه محدود می‌شود. در حوزه‌های مختلفی مانند هوش مصنوعی و نظریه کنترل [۳۴] از منطق فازی استفاده می‌شود. بنابراین با استفاده از منطق فازی در این زمینه‌ها، رایانه‌ها قادر هستند براساس داده‌های غیرقطعی و غیرصریح، محاسبات و تصمیم‌سازی کنند [۱۵]. یک سیستم استنتاج فازی دارای چهار بخش اصلی است که در شکل ۴ نحوه ارتباط این بخش‌ها به خوبی دیده می‌شود.

قوانين پایه: این بخش، شامل همه قاعده‌ها و شرایطی است که به صورت «اگر...آنگاه» توسط یک متخصص مشخص شده‌اند تا قادر به کنترل تصمیمات یک سیستم تصمیم‌گیری<sup>۲۸</sup> باشند. با توجه به روش‌های جدید در نظریه فازی، امکان تنظیم و کاهش قواعد و قوانین بوجود آمده است به طوری که با کمترین قوانین می‌توان بهترین نتیجه را گرفت.

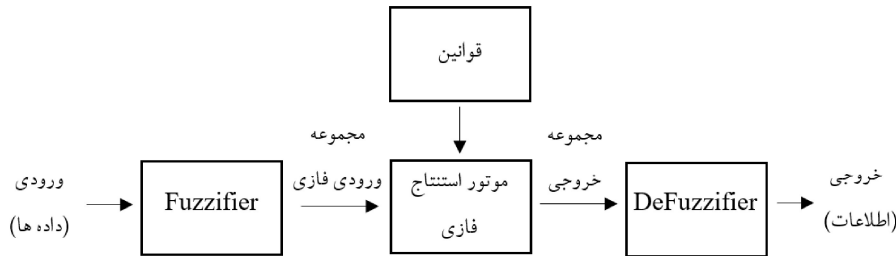
فازی سازی<sup>۲۸</sup>: در گام فازی سازی، ورودی‌ها به اطلاعات فازی تبدیل می‌شوند. به این

<sup>25</sup>Right Bundle Branch Block

<sup>26</sup>Left Bundle Branch Block

<sup>27</sup>Decision-making system

<sup>28</sup>Fuzzifier



شکل ۴: چهار بخش اصلی یک سیستم استناتاژ فازی [۴۱]

معنی که اعداد و ارقام و اطلاعاتی که باید پردازش شوند، به مجموعه ها و اعداد فازی تبدیل خواهند شد. داده های ورودی که مثلاً توسط حسگرها در یک سیستم کنترل، اندازه گیری شده اند، به این ترتیب تغییر یافته و برای پردازش بر مبنای منطق فازی آماده می شوند.

موتور استناتاژ یا هوش: در این بخش، میزان انطباق ورودی های حاصل از فازی سازی با قوانین پایه مشخص می شود. به این ترتیب براساس درصد انطباق، تصمیمات مختلفی به عنوان نتایج حاصل از موتور استناتاژ فازی تولید می شود.

برگرداندن از فازی<sup>۲۹</sup>: در آخرین مرحله نیز نتایج حاصل از استناتاژ فازی که به صورت مجموعه ها فازی هستند به داده ها و اطلاعات کمی و رقمی تبدیل می شوند. در این مرحله با توجه خروجی ها که شامل تصمیمات مختلف به همراه درصد های انطباق های متفاوتی هستند، بهترین تصمیم ها انتخاب می شود. معمولاً این انتخاب بر مبنای بیشترین میزان انطباق خواهد بود [۴۱].

## ۳ مجموعه داده های سیگنال های نوار قلب

### ۱.۳ بانک اطلاعاتی بی نظمی MIT-BIH [۴۶]

این بانک اطلاعاتی شامل ۴۸ پرونده از سیگنال های نوار قلب دو کanalه به مدت ۳۰ دقیقه به دست آمده از ۴۷ فرد بین سال های ۱۹۷۵ و ۱۹۷۹ در آزمایشگاه بی نظمی قلبی BIH است. بیست و پنج مرد از ۳۲ تا ۸۹ سال و بیست و دو زن در سنین ۲۳ تا ۸۹ سال انتخاب شدند. این

<sup>29</sup>DeFuzzifier

بانک اطلاعاتی شامل ۱۱۶۱۳۷ تعداد مجموعه‌ی QRS است. سیگنال‌های نوار قلب با فرکانس ۳۶۰ نمونه در ثانیه با وضوح ۱۱ بیتی با دامنه ۱۰ میلی‌ولت و باند عبور شده در ۱۰۰ – ۰/۱ هرتز فیلتر شدند. این مجموعه داده شامل ضربان‌های مختلفی از جمله ضربان معمولی، (PVC) RBBB ، LBBB ، ضربان‌های زودرس دهلیزی (APB)<sup>۳۰</sup> و مجتمع بطن زودرس (PVC)<sup>۳۱</sup> سیگنال‌های ضبط شده‌است که در جدول ۱ خلاصه می‌شوند.

### ۲.۳ بانک اطلاعاتی بینظمی CU [۵۰] (Creighton University)

بانک اطلاعاتی CU شامل ۳۵ پرونده ۸ دقیقه‌ای از بیماران مبتلا به تاکی‌کاردی بطنی، فلوتر بطنی و فیبریلاسیون بطنی است. سیگنال‌ها با فرکانس ۲۵۰ هرتز با وضوح ۱۲ بیتی با دامنه ۱۰ میلی‌ولت دیجیتالی شده و با Low-Pass Bessel Aecond-order Active فیلتر می‌شوند.

### ۳.۳ بانک اطلاعاتی بیننظمی AHA [۲۲] (American Heart Association)

بانک اطلاعاتی AHA شامل ۸۰ رکورد دو کanal است. سیگنال‌ها با فرکانس ۲۵۰ هرتز با وضوح ۱۲ بیتی با دامنه ۱۰ میلی‌ولت دیجیتالی می‌شوند.

### ۴.۳ بانک اطلاعاتی بیننظمی European ST-T [۶۳]

بانک اطلاعاتی ST-T اروپا شامل ۹۰ پرونده دو ساعته ۷۹ بیمار است. سیگنال‌ها با فرکانس ۲۵۰ هرتز با وضوح ۱۲ بیتی با برد ۲۰ میلی‌ولت نمونه برداری می‌شوند.

### ۵.۳ بانک اطلاعاتی بیننظمی QT [۳۶]

بانک اطلاعاتی QT شامل ۱۰۵ رکورد پانزده دقیقه‌ای دو کanal است. سیگنال‌ها با فرکانس ۲۵۰ هرتز نمونه برداری می‌شوند و طبق استاندارد انجمن پیشرفت پزشکی (AAMI) ، ضربان‌های بیننظمی قلبی در ۵ کلاس N ، V ، S ، F و Q تقسیم می‌شوند.

<sup>۳۰</sup>Atrial Premature Beats

<sup>۳۱</sup>Premature Ventricular Contraction

جدول ۱: توزیع انواع مختلف بی نظمی های قلبی در رکوردهای مجموعه داده های MIT-BIH [۵۶]

نوع	دکورد
ضربان نرمال	۲۳۴، ۲۳۰، ۲۱۹، ۲۰۵، ۲۰۲، ۱۲۳، ۱۲۲، ۱۲۱، ۱۱۷، ۱۱۵، ۱۱۴، ۱۱۳، ۱۱۲، ۱۰۸، ۱۰۵، ۱۰۳، ۱۰۱، ۱۰۰
LBBB	۲۱۴، ۲۰۷، ۱۱۱، ۱۰۹
RBBB	۲۳۱، ۲۱۲، ۱۲۴، ۱۱۸
PVC	۲۳۳، ۲۲۸، ۲۲۱، ۲۱۳، ۲۰۸، ۲۰۳، ۲۰۱، ۲۰۰، ۱۱۹، ۱۱۶، ۱۰۶
APB	۲۳۲، ۲۲۳، ۲۲۲، ۲۲۰، ۲۰۹

## ۴ طبقه بندی سیگنال های نوار قلب با منطق فازی

همانطور که در شکل ۵ نشان داده شده است، یک طبقه بندی عملی نوار قلب فازی معمولاً از دو بلوک عملکرد اصلی تشکیل شده است: استخراج پارامتر از سیگنال های قلب <sup>۳۲</sup> و طبقه بندی کننده فازی. اولین بلوک عملکرد برای تشخیص ویژگی ها و پارامترهای مهم از نوار قلب استفاده می شود. پارامترهای به دست آمده از جمله دامنه و مدت زمان برای طبقه بندی نوار قلب به بلوک عملکرد دوم منتقل می شوند. روش فازی برای آنالیز بالینی بسیار مؤثر و کاربردی است. در واقع روش های بسیاری بر اساس منطق فازی و ترکیب منطق فازی با سایر منطق ها برای طبقه بندی بی نظمی های نوار قلب وجود دارد. برای طبقه بندی بی نظمی های نوار قلب با استفاده از طبقه بندی فازی، برخی از الگوهای نوار قلب و متغیرهای زبانی مورد نیاز است که در جدول ۲ نشان داده شده است.

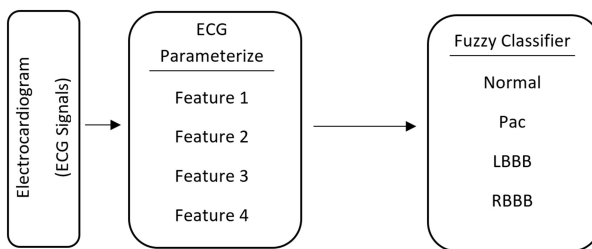
اولین مرحله در الگوریتم های طبقه بندی آماده سازی داده ها است. ورودی های لازم برای طبقه بندی، مجموعه های PQRST هستند که بر اساس روش های مختلفی که برای تشخیص این نقاط در دنباله ای از سیگنال های قلب وجود دارد <sup>[۲۳، ۳۱، ۳۷، ۶۶]</sup> تشخیص داده شده و به عنوان داده هی ورودی به طبقه بند ارسال می شوند که تعداد آن ها به ظرفیت مجموعه داده های مورد استفاده و تعداد ویژگی ها به الگوریتم تشخیص مورد استفاده بستگی دارد. در مرحله ای آماده سازی، مجموعه های PQRST از ورودی خوانده شده و ویژگی های آن ها با توجه به جدول ۲ استخراج می شود و متغیرهای زبانی <sup>۳۳</sup> تولید می شوند. در ادامه توابع عضویت <sup>۳۴</sup> در مرحله ای فازی سازی

<sup>۳۲</sup>Parameterize ECG

<sup>۳۳</sup>Linguistic Variable

<sup>۳۴</sup>Membership Function

تولید می‌شوند. خروجی به صورت متغیرهای فازی خواهد بود که به این ترتیب به یک مرحله‌ی برگردان فازی نیاز است تا متغیرهای فازی را به عنوان ورودی دریافت کند و متغیرهای واضح را تولید کند. پس از مرحله‌ی فازی‌سازی، ویژگی‌ها به صورت درجه عضویت بین ° تا ۱ بیان می‌شوند. روش استنباط از قاعده‌ی If-Then استفاده می‌کند. به عنوان مثال برای بیماری PR، موج T و مجموعه‌ی QRS خلاف جهت یکدیگر هستند و ضربان قبلی قلب یا LBBB کوتاه بوده و موج p مشاهده نمی‌شود. به این ترتیب طبقه‌بندی نوع LBBB به صورت زیر تعریف می‌شود: اگر جهت موج T به سمت بالا<sup>۳۵</sup> باشد و جهت مجموعه‌ی QRS نیز به سمت بالا باشد و موج P مشاهده نشده باشد و ضربان قلب قبلی یا RR کوتاه باشد آنگاه نوع بیماری تشخیص داده شده LBBB خواهد بود.



شکل ۵: ساختار طبقه‌بند فازی سیگنال‌های قلبی

در این قانون متغیرهای زبانی شامل به سمت بالا<sup>۳۶</sup>، به سمت پایین<sup>۳۷</sup>، مشاهده نشده<sup>۳۸</sup> و کوتاه<sup>۳۹</sup> است. نتیجه‌یتابع عضویت که یک عدد بین ° و ۱ است، به عنوان فرضیه در نظر گرفته می‌شود و در ادامه اگر مقدار آن از یک محدوده‌ی مشخصی بیشتر باشد، ضربان نوع LBBB تشخیص داده می‌شود [۳۸].

حقیقان و دانشمندان روش‌های بسیاری را برای طبقه‌بندی بی‌نظمی‌های نوار قلب ارائه داده اند. به عنوان مثال، طبقه‌بندی فازی [۱۱]، شبکه‌ی عصبی موجک [۱]، بهبود عملکرد طبقه‌بندی

<sup>۳۵</sup>Upward

<sup>۳۶</sup>Upward

<sup>۳۷</sup>Downward

<sup>۳۸</sup>Disappeared

<sup>۳۹</sup>Small

جدول ۲: ویژگی های ضربان قلب و متغیرهای زبانی مربوطه [۳۸]

متغیرهای زبانی	ویژگی های نوار قلب
Short; Normal; Long	ضربان قلب قبلی (RR <sup>۰</sup> )
Short; Normal; Long	ضربان قلب بعدی (RR <sup>۱</sup> )
Early; Normal; Disappear	p موج
Upward; Downward	QRS مجموعه
High; Normal; Low	R موج
Upward; Downward; Disappear	T موج

استخراج ویژگی های خطی [۵۲]، بعد همبستگی و بزرگترین نماینده لیاپونوف [۲۷]، تبدیل موجک و روش فواصل زمانی [۴۸]، الگوریتم های طبقه بندی چند سیگنال [۲۸] و شکل کارآمد ترکیب ویژگی های تبدیل موجک مورفولوژیکی به همراه ویژگی های دنباله زمانی سیگنال نوار قلب [۴۴]. تحقیقات انجام شده روش های بی شماری را برای طبقه بندی سیگنال های نوار قلب مانند ماشین های بردار پشتیبان برای تشخیص ضربان قلب ایجاد کرده اند [۶۱، ۳۳، ۳۰]، شبکه عصبی مصنوعی (ANN) [۴۰، ۲، ۳]، تکنیک افتراق دهنده خطی فیشر (FLDA) [۴۱]، توابع هرمیت و نقشه خود سازمان یافته [۳۵]، مدت ضربان های قلب همراه با شکل و خصوصیات مورفولوژیکی پارامترهای آن [۱۲]، الگوریتم استفاده از چندین لید ، مبتنی بر مشاهده هی تضادی ویژگی ها [۹]، تجزیه و تحلیل توسط تبدیل هیلبرت [۷، ۵۱] ماشین یادگیری افراطی [۲۲]، درخت مدل لجستیک [۴۲]، مدل مخلوط گاووسی [۴۳] و نیز برخی از مدل ها وجود دارند که بر اساس ترکیب و همبستگی روش های ذکر شده در بالا ایجاد شده اند و در بسیاری از موارد روش های ترکیبی نتیجه بهتری نسبت به سایر روش ها نشان داده اند.

#### ۱۰.۴ طبقه بندی کننده های فازی سازگار

با استناد بر نتایج حاصل از تحقیقات انجام شده، استفاده از طبقه بند فازی سازگار برای طبقه بندی سیگنال های قلب بسیار کاربردی بوده و نتایج دقیقی بدست آورده است. به منظور بهینه سازی

<sup>۴۰</sup>Artificial Neural Networks

<sup>۴۱</sup>Fisher's Linear Discriminant Analysis

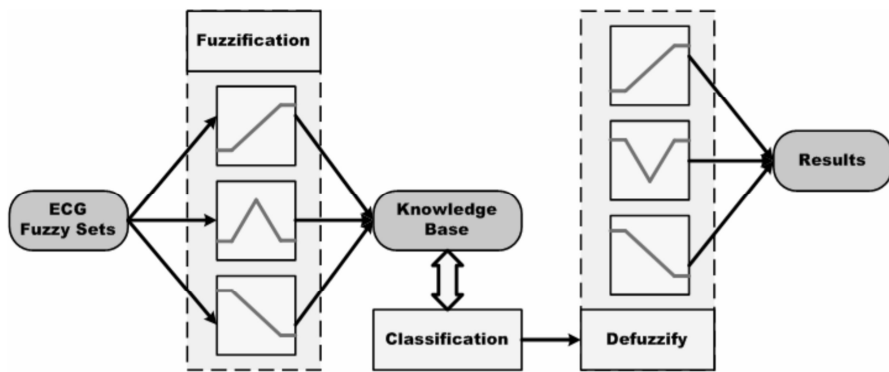
پارامترهای سیستم نظیر مقادیر آستانه و مرزهای عضویت، این سیستم به یک مرحله یادگیری نیاز دارد. مقادیر حاشیه در تابع عضویت تقریباً در مرحله یادگیری ثابت هستند و از یک مجموعه قانون از پیش تعریف شده برای طبقه‌بندی مناسب ضربان‌های قلب استفاده می‌شود. این مقادیر در تابع عضویت با استفاده از مقادیر حاشیه‌ی ضربان‌های از پیش طبقه‌بندی شده سفارشی می‌شوند. در طبقه‌بندی سیگنال‌های قلبی فازی، تابع عضویت در اصل از دانش پزشکی و مجموعه داده‌های پزشکی حاصل می‌شود. از این رو قابل پیش‌بینی است که کارایی تابع عضویت ثابت هنگامی که به بخش‌های خاص سیگنال‌های قلب گسترش یابد کاهش می‌یابد. بنابراین برای موفقیت برنامه‌های کاربردی در زندگی واقعی، سازگاری باید یک مرحله ضروری از هر طبقه‌بند سیگنال‌های قلبی فازی باشد [۲۰]. در حقیقت به خوبی قابل مشاهده است که تعمیم و سازگاری به عنوان دو گام ضروری برای هر سیستم هوشمند عمل می‌کند. یک سیستم هوشمند درست اغلب با تعمیم<sup>۴۲</sup> و خودسازگاری<sup>۴۳</sup> با برنامه خاص ایجاد می‌شود. در استفاده از طبقه‌بندی کننده‌های فازی برای تجزیه و تحلیل سیگنال‌های قلب، پارادایم مبتنی بر محاسبات عصبی برای خودسازگاری توصیه می‌شود. با این وجود برای یادگیری و بروزرسانی به مجموعه‌ای از مجموعه داده‌های مستقل نیاز است که متأسفانه برای طبقه‌بندی کننده‌های فازی استفاده شده در زیست‌پزشکی غیرممکن است. در نتیجه روش خودسازگاری آنلاین براساس تئوری یادگیری آماری پیشنهاد شده است. ساختار چنین طبقه‌بند کننده‌ی سیگنال‌های قلبی فازی سازگار<sup>۴۴</sup> در شکل ۶ نشان داده شده است.

قبل از خودسازگاری، تمام پارامترها مطابق با دانش پزشکی به عنوان مقادیر پیش‌فرض تنظیم می‌شوند. چنین سیستم پیش‌فرضی برای مدتی اجرا می‌شود. سپس AFC-ECG<sup>۴۵</sup> سعی می‌کند خود را با داده‌های مشاهده شده تطبیق دهد. پس از سازگاری دوباره برای مدتی اجرا خواهد شد. AFC-ECG طبقه‌بندی فازی را در مدل‌های زیست‌پزشکی انجام می‌دهد در حالی که خودسازگاری در سرورهای مرکزی انجام می‌شود [۳۸]. ترکیبی از قابلیت‌های انطباقی شبکه‌ی عصبی و سیستم استنتاج فازی دقت بیش از ۹۷٪ [۶۳] و ۹۶٪ [۵۸] را نشان داده است.

<sup>42</sup>Generalization

<sup>43</sup>Self Adaptation

<sup>44</sup>Adaptive Fuzzy Classifier



شکل ۶: نمودار طبقه بندی سیگنال های قلبی با استفاده از طبقه بند های فازی سازگار [۳۸] *Adaptive Fuzzy Classifier*

## ۲.۴ خوشبندی C-Means فازی

خوشبندی داده ها برای یافتن شباهت در داده ها استفاده می شود و داده های مشابه را در گروه های مشابه قرار می دهد [۱۷]. FCM<sup>۴۵</sup> روشی فازی است که با الگوریتم خوشبندی داده ها سروکار دارد و به طور گسترده مورد استفاده قرار گرفته شده است. این الگوریتم در ابتدا توسط دونن<sup>۴۶</sup> [۴۳] معرفی شد و بعداً در سال ۱۹۸۱ توسط بزدک<sup>۴۷</sup> گسترش یافت [۸].

در این فرایند، هر نقطه از داده ها بر حسب مقدار درجهی عضویت به یک خوش خاص تعلق می گیرد. الگوریتم FCM چهار مرحله دارد. در ابتدا ماتریس عضویت با مقادیر دلخواه بین ۰ تا ۱ مقداردهی می شود و سپس مراکر خوشهای فازی مشخص می شوند و در ادامهتابع هزینه محاسبه می شود. در نهایت محاسبات در صورت کاهش مقدار آن از یک آستانه مشخص شده متوقف می شود. همچنین اگر پیشرفت آن در تکرار قبلی کمتر از یک آستانه مشخص باشد، باید محاسبه به پایان برسد. به این ترتیب یک ماتریس عضویت جدید محاسبه می شود و در نهایت مراکر خوشهای فازی یک بار دیگر محاسبه می شوند. همایی نژاد و دوستان [۲۵] توانسته اند با استفاده

<sup>45</sup>Fuzzy C-Means

<sup>46</sup>Donn

<sup>47</sup>Bezdek

جدول ۳: نتایج طبقه‌بندی فازی مبتنی بر خوشبندی FCM [۵۵]

Sensitivity	Prediction Positive	Accuracy	Type
۹۹/۶۶%	۹۶/۷۶%	۹۷/۴۱%	Normal
۹۶/۳۳%	۹۸/۲۹%	۹۷/۴۱%	LBBB
۹۸/۶۶%	۹۵/۷۹%	۹۷/۴۱%	RBBB
۹۵/۰۰%	۹۸/۹۵%	۹۷/۴۱%	PB

از طبقه‌بندی کننده‌ی فازی FCM و تکنیک خوشبندی کاهاشی<sup>۴۸</sup> به دقت ۹۷/۴۷ درصد در طبقه‌بندی سیگنال‌های قلبی با استفاده از مجموعه داده MIT-BIH بررسی شد، که می‌تواند به عنوان یک عملکرد عالی برای طبقه‌بندی بی‌نظمی‌های نوار قلب در نظر گرفته شود.

روپا<sup>۴۹</sup> و دوستان [۵۵] ساختار RSKFCM<sup>۵۰</sup> را ارائه دادند که با استفاده از روش انتخاب ویژگی RLP1<sup>۵۱</sup> [۱۰] توانستند به دقت ۹۰/۳۵ درصدی در طبقه‌بندی سیگنال‌های قلب بررسند. در ادامه روپا و دوستان [۵۴] یک الگوریتم خوشبندی بدون نظارت اصلاح شده جدید را برای تشخیص دقیق بیماری‌های قلبی ارائه دادند. برای انتخاب بهترین ویژگی برای یادگیری بهتر از روش‌های انتخاب ویژگی مانند تحلیل مولفه‌های اصلی<sup>۵۲</sup>، تحلیل خطی تبعیض‌آمیز<sup>۵۳</sup> و نمایه‌سازی حفظ محلیت تنظیم شده<sup>۵۴</sup> استفاده کردند. مجموعه‌ای از ویژگی‌های کاهاش یافته با استفاده از روش خوشبندی C-Means فازی بصری اصلاح شده (MIFCM)<sup>۵۵</sup> خوشبندی می‌شوند. آن‌ها توانستند با استفاده از روش انتخاب ویژگی RLPI<sup>۵۶</sup> به دقت ۹۵/۳۶ درصد در طبقه‌بندی سیگنال‌های قلب بررسند.

قاریب<sup>۵۶</sup> و دوستان [۲۱] روشی برای تشخیص انقباض بطن زودرس (PVC) در سیگنال

<sup>48</sup>Subtractive Clustering

<sup>49</sup>Ropa

<sup>50</sup>Robust Spatial Kernel Fuzzy C-Means

<sup>51</sup>Regularized Locality Preserving Indexing

<sup>52</sup>Principal Component Analysis

<sup>53</sup>Linear Discriminative Analysis

<sup>54</sup>Regularized Locality Preserving Indexing

<sup>55</sup>Modified Intuitionistic Fuzzy C-Means Clustering

<sup>56</sup>Gharieb

الکتروکاردیوگرام ارائه داده‌اند. در این مقاله روش حداقل فاصله (MD)<sup>۵۷</sup> و تحلیل خطی تبعیض‌آمیز در یک فضای ویژگی پیشنهادی برای طبقه‌بندی به کار گرفته شده است. این ویژگی‌ها توسط تبدیل موجک پیوسته سیگنال ضربان نوار قلب و به دنبال آن توسط اپراتور TKE<sup>۵۸</sup> استخراج می‌شوند. نمونه‌های اولیه کلاس‌های مختلف در فضای ویژگی با استفاده از الگوریتم خوشبندی C-Means فازی (FCM) تولید می‌شوند. برای آزمایش روش پیشنهادی، از بانک اطلاعاتی بی‌نظمی MIT-BIH استفاده شده است. این روش موفق به بدست آوردن دقت ۱۰۰٪ در طبقه‌بندی ضربان‌های نرمال و PVC با طبقه‌بندی کننده MD شده است.

### ۳.۴ ماشین بردار پشتیبان فازی

اصل اساسی ماشین‌های بردار پشتیبان که توسط وینیک [۱۳]<sup>۵۹</sup> پیشنهاد شده است، شناسایی یک جداساز خطی است که میزان خطای طبقه‌بندی را به حداقل می‌رساند در حالی که حداقلتر حاشیه را بین کلاس‌ها بعد از قراردادن نمونه‌های آموزشی در یک فضای ویژگی چندبعدی برقرار می‌کند. تشخیص یک جداساز خطی بهینه در فضای ورودی دشوار است، بنابراین با نگاشت بردار ورودی به یک فضای ویژگی چندبعدی امکان شناسایی جداساز خطی مطلوب را فراهم می‌کنیم. تعداد برنامه‌هایی که از SVM<sup>۶۰</sup> استفاده می‌کنند همچنان در حال افزایش است. اما ممکن است برخی از داده‌های ورودی دقیقاً به یکی از دو کلاس مورد نظر اختصاص داده نشوند. برای برخی از داده‌ها بسیار مهم است که به یک کلاس واحد اختصاص داده شوند تا SVM بتواند به طور صحیح این نقاط را از هم جدا کند، در حالی که سایر نقاط داده از بین رفته توسط نویز ارزش کمتری دارند و بهتر است از آن‌ها صرف نظر کرد. SVM قادر این نوع توانایی تبعیض‌آمیز است. از این رو یک طرح عضویت فازی برای آموزش داده‌های SVM اعمال می‌شود و SVM را به FSVM<sup>۶۱</sup> تبدیل می‌کند به گونه‌ای که نقاط ورودی مختلف می‌توانند در یادگیری سطح تصمیمات سهم متفاوتی داشته باشند. روش FSVM طیف وسیعی از مقادیر عضویت فازی را که برای تولید توابع

<sup>۵۷</sup>Minimum Distance

<sup>۵۸</sup>Teager Kiaser Energy

<sup>۵۹</sup>Vapnik

<sup>۶۰</sup>Support Vector Machine

<sup>۶۱</sup>Fuzzy Support Vector Machine

عضویت ضروری هستند، اختصاص می‌دهد. برای محاسبه درجهٔ عضویت، توابع عضویت سنتی استفاده می‌شود. همچنین توابع عضویت خاص داده نیز می‌توانند مورد استفاده قرار بگیرند. به منظور تخصیص درجهٔ عضویت، از چهارتابع استفاده می‌شود که شامل یک کلاس Weighing (OCW)<sup>۶۲</sup>، میانگین فاصله از کلاس تا کلاس (DTCM)<sup>۶۳</sup>، فاصلهٔ تا یک کلاس میانگین (DTOCM)<sup>۶۴</sup>، کاردینالیتی (CAR)<sup>۶۵</sup> و طبقه‌بند C-Means (FCM)<sup>۶۶</sup> است. برای تسهیل در کاهش ابعاد، چهار تکنیک مورد استفاده قرار می‌گیرد که شامل تجزیه و تحلیل مؤلفه‌های اصلی (PCA)<sup>۶۷</sup>، تجزیه و تحلیل عاملی (FA)<sup>۶۸</sup>، حذف ویژگی بازگشتی با ماشین بردار پشتیبان (RFE-SVM)<sup>۶۹</sup> و انتخاب ویژگی همبستگی (CFS)<sup>۷۰</sup> است [۶۷، ۷۰].

نمونه‌ی استفاده از ماشین بردار پشتیبان فازی برای طبقه‌بندی سیگنال‌های قلب مقاله لیی<sup>۷۱</sup> و دوستان [۶۱] است که به دقت ۹۹/۴۲ درصد با درجهٔ تابع عضویت فازی ۲۸ برای طبقه‌بندی سیگنال‌های نرمال و دقت ۹۸/۷۸ درصد با درجهٔ تابع عضویت ۵۰ برای طبقه‌بندی سیگنال‌های VT یا تاکیکاردی بطنی و دقت ۹۹/۷۹ درصد با درجهٔ تابع عضویت ۵ برای طبقه‌بندی سیگنال‌های فیبریلاسیون بطنی یا VF رسیده است.

#### ۴.۴ ترکیب تبدیل موجک و شبکه‌ی عصبی فازی برای تشخیص انقباض زودرس بطن

شیو<sup>۷۲</sup> و همکاران [۶۰] یک روش برای تشخیص انقباض زودرس بطنی مبتنی بر ترکیب تبدیل موجک و شبکه‌ی عصبی فازی پیاده‌سازی کردند، مزیت اصلی آن استفاده‌ی مجدد از اطلاعاتی بود

<sup>62</sup>One Class Weighing

<sup>63</sup>Distance to Class Mean

<sup>64</sup>Distance to One Class Mean

<sup>65</sup>Cardinality

<sup>66</sup>Fuzzy C-Means

<sup>67</sup>Principal Component Analysis

<sup>68</sup>Factor Analysis

<sup>69</sup>Recursive Feature Elimination with Support Vector Machine

<sup>70</sup>Correlation-based Feature Selection

<sup>71</sup>Lee

<sup>72</sup>Shyu

جدول ۴: نتایج بدست آمده از روش های پیشنهادی [۴۷]

روش	دقت
PCA	۸۶٪
GPCA	۹۰٪
ICA	۹۱٪
GICA	۹۳٪
FGPCA	۹۴٪
FGICA	۹۴٪

که هنگام تشخیص مجموعه‌ی QRS بدست می‌آمد که یک گام ضروری برای الگوریتم‌های طبقه‌بندی سیگنال قلب برای تشخیص انقباض زودرس بطنی به حساب می‌آید. از جمله سایر ویژگی‌های این روش استفاده از موجک مشابه برای تشخیص مجموعه‌ی QRS و طبقه‌بندی انقباض زودرس بطن برای کاهش محاسبات و پیچیدگی و زمان اجرا می‌باشد. در نهایت توانستند با استفاده از این روش به دقت ۹۹٪ در تشخیص انقباض زودرس بطنی دست پیدا کنند.

#### ۵.۴ تجزیه و تحلیل مولفه‌های اصلی و مولفه‌های مستقل مبتنی بر سیستم فازی ژنتیکی

مورگان و همکاران [۴۷] یک نسخه‌ی بهبود یافته از آنالیز مولفه‌های اصلی (PCA) و آنالیز مولفه‌های مستقل (ICA) به منظور استخراج ویژگی برای طبقه‌بندی سیگنال‌های ایسکمیک از سیگنال‌های قلبی ارائه دادند. در این روش الگوریتم فازی K-Means و PCA و ژنتیک با ICA به منظور استخراج ویژگی‌های مرتبه ترکیب شده و روش‌های پیشنهادی FGPCA<sup>۷۳</sup> و FGICA<sup>۷۴</sup> نامگذاری شده‌اند. در ادامه برای طبقه‌بندی سیگنال‌ها به دو دسته‌ی ایسکمیک و غیر ایسیمیک با استفاده از ویژگی‌های بدست آمده از FGPCA و FGICA از LSSVM<sup>۷۵</sup> استفاده شده است. مقایسه‌ی دقت حاصل از روش‌های ارائه شده بر روی مجموعه داده‌های ST-T اروپا شامل ۲۰۴۰ ضربان استخراج شده از ۱۷ بیمار مختلف در جدول ۴ نشان داده شده است.

<sup>۷۳</sup>Fuzzy-Genetic based PCA

<sup>۷۴</sup>Fuzzy-Genetic based ICA

<sup>۷۵</sup>Least Square Support Vector Machine

#### ۶.۴ سیستم استنتاج عصبی فازی تطبیقی

نرمی<sup>۷۶</sup> و دوستان [۴۹]<sup>۷۷</sup> یک روش مبتنی بر سیستم استنتاج عصبی فازی تطبیقی ANFIS برای طبقه‌بندی سیگنال‌های قلبی ارائه دادند. در این روش استخراج ویژگی‌ها با استفاده تجزیه و تحلیل مولفه‌های مستقل<sup>۷۸</sup> و طیف توان<sup>۷۹</sup> و فاصله‌ی RR<sup>۸۰</sup> انجام شده و سپس به عنوان بردار ورودی به طبقه‌بند ANFIS فرستاده می‌شود. نتایج بدست آمده حاکی از آن است که این سیستم قادر به تشخیص ریتم سیستوسی طبیعی، انقباض زودرس بطئی، انقباض زودرس دهلیزی، تاکی‌کاردی بطئی، فیبریلاسیون بطئی و تاکی‌کاردی با دقت بالای ۹۷٪ می‌باشد.

پارثانا<sup>۸۱</sup> و دوستان [۵۹]<sup>۷۷</sup> یک رویکرد مبتنی بر سیستم استنتاج عصبی فازی تطبیقی برای طبقه‌بندی سیگنال‌های قلبی به سه طبقه‌ی ضربان عادی، ضربان بلوک شاخه بسته‌ی چپ، انقباض بطئ زودرس ارائه دادند. در این رویکرد ویژگی‌های مهم با استفاده از ترکیب ویژگی‌های مورفولوژیکی و آماری تشخیص داده می‌شوند و در نهایت به طبقه‌بند ANFIS برای طبقه‌بندی ارسال می‌شوند. نتایج بدست آمده نشان دهنده‌ی دقت ۹۶٪ این سیستم در طبقه‌بندی سیگنال‌های قلب می‌باشد.

### ۵ نتیجه‌گیری

این مقاله با هدف تمرکز بر توسعه موفق و بررسی روال پیشرفت در انواع روش‌های مبتنی بر منطق فازی در طبقه‌بندی بی‌نظمی‌های قلبی انجام شده و ارزیابی کارایی و دقت و همچنین مبانی نظری این تکنیک‌ها ارائه شده است. نتایج بدست آمده نشان می‌دهد که ترکیب منطق فازی با سایر روش‌ها بطور قابل توجهی کارایی بهتری نسبت به تکنیک‌های غیرترکیبی برای طبقه‌بندی بی‌نظمی‌های سیگنال‌های قلب دارد. بسیاری از روش‌های دیگری نیز وجود دارند که با

<sup>76</sup>Nazmy

<sup>77</sup>Adaptive Neuro-Fuzzy Inference System

<sup>78</sup>Independent Component Analysis

<sup>79</sup>Power Spectrum

<sup>80</sup>RR Interval

<sup>81</sup>Prarthana

منطق فازی ترکیب نشده اند، در حالی که ترکیب آنها با منطق فازی نیز توسط محققان پیشنهاد شده است.

## مراجع

- [1] Acharya, R., Suri, J. S., Spaan, J.A.E., Krishnan, S. M. (2007). Advances in Cardiac Signal Processing. *Springer Berlin Heidelberg New York*, 13, 327-338.
- [2] Anuradha, B., Reddy, V. C. V., (2008). ANN for classification of cardiac arrhythmias, *ARPJ Journal of Engineering and Applied Sciences*.
- [3] Asl, B. M. Z., Setarehdan S. K., (2006). Neural Network Based Arrhythmia Classification Using Heart Rate Variability Signal. *Proceedings of the 2nd International Symposium on Biomedical Engineering, Bangkok, Thailand*, 149-162.
- [4] Balaskas, K., Siozios, K. (2019). ECG Analysis and Heartbeat Classification Based on Shallow Neural Networks, *8th International Conference on Modern Circuits and Systems Technologies (MOCAST)*, 1-4.
- [5] Barill, T. (2003). The Six Second ECG: A Practical Guidebook to Basic ECG Interpretation. *nursecom*.
- [6] Bayati, H., Dowlatshahi, M. B., Paniri, M. (2020). MLPSO: A Filter Multi-label Feature Selection Based on Particle Swarm Optimization. *25th International Computer Conference, Computer Society of Iran (CSICC)*, 1-6.
- [7] Benitez, D., Gaydecki, P. A., Zaidib, A., Fitzpatrick, A.P. (2001). The use of the Hilbert transform in ECG signal analysis. *Computers in Biology and Medicine*, 31, 399-406.

- [8] Bezdek, J.C., *Pattern Recognition with Fuzzy Objective Function Algorithms*. 2013.
- [9] Bogdanova, I., Rinc', F., Atienza, D. (2012). A Multi-lead ECG Classification Based On Random Projection Features. *IEEE Xplore*, 2012, 625-628.
- [10] Cai, D., He, X., Zhang, W.V., Han, J. (2007). Regularized locality preserving indexing via spectral regression, *sixteenth ACM conference on Conference on information and knowledge management*, ACM, 741–750.
- [11] Channappa B., Satish T., Hamde, Laxman M., Waghmare (2011). ECG Acquisition and Analysis System for Diagnosis of Heart Diseases. *Sensors & Transducers Journal*, 133, 18-29.
- [12] Chazal, P.De., O'Dwyer, M., Reilly, R.B. (2004) Automatic Classification of Heartbeats Using ECG Morphology and Heartbeat Interval Features. *IEEE Transaction on Biomedical Engineering*, 51, 1196- 1206.
- [13] Cortes, C., Vapnik, V. (1995). Support-vector networks .*Machine Learning*, 20, 273–2970.
- [14] Dowlatshahi, M.B., Derhami, V., Nezamabadi-pour, H. (2018). A Novel Three-Stage Filter-Wrapper Framework for miRNA Subset Selection in Cancer Classification. *Informatics*, 5, 13.
- [15] Dowlatshahi, M.B., Derhami, V., Nezamabadi-pour, H. (2019). Fuzzy particle swarm optimization with nearest-better neighborhood for multimodal optimization. *Iranian Journal of Fuzzy Systems*.

- [16] Dowlatshahi, M.B., Derhami, V., Nezamabadi-pour, V. (2017). Ensemble of Filter-Based Rankers to Guide an Epsilon-Greedy Swarm Optimizer for High-Dimensional Feature Subset Selection. *Information*, 8, 152.
- [17] Dowlatshahi, M.B., Nezamabadi-pour, H. (2014). GGSA: A Grouping Gravitational Search Algorithm for data clustering. *ScienceDirect*, 36, 114-121.
- [18] Duin, R.P.W., Loog, M. (2004). Linear dimensionality reduction via a heteroscedastic extension of lda: the chernoff criterion .*IEEE Trans*, 26, 732–739.
- [19] Dunn, J. C. (1974) A Fuzzy Relative of the ISODATA Process and its Use in Detecting Compact Well Separated Clusters. *Journal of Cybernetics*, 3, 32–57.
- [20] Farhan, A., Wei, CL., Ahmed, MT. (2018). A Qualitative Overview of Fuzzy Logic in ECG Arrhythmia Classification, *Semantic Scholar*, 5, 232-239 .
- [21] Gharieb, R.R., Massoud, M., Nady, S., Moness, M. (2016) Fuzzy c-means in features space of Teager-Kaiser Energy of continuous wavelet coefficients for detection of PVC beats in ECG. *2016 8th Cairo International Biomedical Engineering Conference (CIBEC)*. Cairo, 72-75.
- [22] Goldberger AL, Amaral LAN, Glass L, Hausdorff JM, Ivanov PCh, Mark RG, Mietus JE, Moody GB, Peng C-K, Stanley HE (2003). PhysioBank, PhysioToolkit, and PhysioNet: Components of a New Research Resource for Complex Physiologic Signals. *Circulation*, 101, 215-220.
- [23] Hashemi, A., Dowlatshahi M. B., (2020). MLCR: A Fast Multi-label Feature Selection Method Based on K-means and L2-norm. *25th International Computer Conference, Computer Society of Iran (CSICC)*, 1-7.

- [24] Hashemi, A., Dowlatshahi, M.B., Nezamabadi-pour, H., (2019). MGFS: A multi-label graph-based feature selection algorithm via PageRank centrality. *ScienceDirect*, 142.
- [25] Homaeinezhad, M.R., Tavakkoli, E., Ghaffari, A. (2011). Discrete Wavelet-based Fuzzy Network Architecture for ECG RhythmType Recognition: Feature Extraction and Clustering-Oriented Tuning of Fuzzy Inference System. International Journal of Signal Processing, *Image Processing and Pattern Recognition*, 4, 107-130.
- [26] Illustration from Anatomy & Physiology, Connexions Web Site, 2013, <http://cnx.org/content/col11496/1.6/>.
- [27] Inan, O.T., Giovangrandi, L., Kovacs. G. T. A. (2006). Robust neural network-based classification of premature ventricular contractions using wavelet transform and timing interval features. *IEEE Transaction on Biomedical Engineering*, 53, 2507-2515.
- [28] Ince, T., Kiranyaz, S., Gabbouj, M. (2009). A Generic and Robust System for Automated Patient-specific Classification of Electrocardiogram Signals. *IEEE Transactions on Biomedical Engineering*, 56, 1415-1426.
- [29] *Introductory Guide to Identifying ECG Irregularities*, DailyCareBioMedical Inc.2016
- [30] Jalal A., Nasiri, Naghibzadeh, M., Yazdi, H.S., Naghibzadeh, B. (2009). ECG Arrhythmia Classification with Support Vector Machines and Genetic Algorithm. *Third UKSim European Symposium on Computer Modeling and Simulation*, 187-192.

- [31] Jeppesen, J., Beniczky, S., Johansen, P., Sidenius, P., Frederiksen, A.F. (2017). Fully automated R-peak detection algorithm for patients with epilepsy: First step towards portable seizure detector. *Elsevier*, 128, 9, e282.
- [32] Karpagachelvi, S., Arthanari, M., Sivakumar, M. (2011). Classification of ECG Signals Using Extreme Learning Machine. *Computer and Information Science*, 4, 42-52.
- [33] Kohli, N., Verma, N.K., Roy. A. (2010) SVM Based Methods for Arrhythmia Classification in ECG. *International Conference on Computer & Communication Technology*, 486490.
- [34] LEE, C.C. (1990). Fuzzy Logic Controller, Fuzzy Logic in Control Systems. *IEEE*, 20, 404 – 418.
- [35] Lagerholm, M., Peterson, C., Braccini, G., Edenbrandt, L., Sörnmo, L. (2000). Clustering ECG Complexes Using Hermite Functions and Selforganizing Maps. *IEEE Transaction on Biomedical Engineering*, 47, 838-848.
- [36] Laguna P., Mark R.G., Goldberger A.L., Moody G.B. (1997). A Database for Evaluation of Algorithms for Measurement of QT and Other Waveform Intervals in the ECG. *Computers in Cardiology*, 24, 673-676.
- [37] Laitala, J., Jiang, M., Syrjälä, E., Naeini, E.K., Airola A., Rahmani, A.M., Dutt, N.D.D., Liljeberg, P. (2020). Robust ECG R-peak detection using LSTM. *35th Annual ACM Symposium on Applied Computing Association for Computing Machinery, New York, NY, USA*, 1104–1111.
- [38] Lei, W.K., Li, B.N., Dong, M.C., Vai, M.I. (2007). AFC-ECG: An adaptive fuzzy ECG classifier. *Springer*, 39, 189-199.

- [39] Li, H., Liang, H., Miao, C. et al (2016). Novel ECG Signal Classification Based on KICA Nonlinear Feature Extraction. *Circuits Syst Signal Process* 35, 1187–1197.
- [40] Liu, T., Si, Y., Wen, D., Zang, M., Lang, L. (2016). Dictionary learning for VQ feature extraction in ECG beats classification. *Expert Systems with Applications*, 53, 129-137.
- [41] MENDEL, J. M. (1995) Fuzzy Logic Systems for Engineering: A tutorial. *IEEE*, 83, 345-377.
- [42] Mahesh, V., Kandaswamy, A., Vimal, C., Sathish, B. (2009). ECG arrhythmia classification based on logistic model tree. *J. Biomedical Science and Engineering*, 2, 405-411.
- [43] Martis, R.J., Chakraborty, C., Ray, A.K. (2009). A two-stage mechanism for registration and classification of ECG using Gaussian mixture model. *Pattern Recognition*, 42, 2979 – 2988.
- [44] Mehta, S.S., Lingayat, N.S. (2007). Support Vector Machine for Cardiac Beat Detection in Single Lead Electrocardiogram. *IAENG, International Journal of Applied Mathematics*, 1630-1635.
- [45] Merone, M., Soda, P., Sansone, M., Sansone, C. (2017). ECG databases for biometric systems: a systematic review. *Expert Systems*, 67, 189–202.
- [46] Moody, G.B., Mark, R.G. (2001). The impact of the MIT-BIH Arrhythmia Database. *IEE*, 20, 45-50.

- [47] Murugan, S., Radhakrishnan, S. (2010). Improving Ischemic Beat Classification Using Fuzzy-Genetic Based PCA And ICA. (*IJCSE International Journal on Computer Science and Engineering*. 02, 05, 1532-1538.
- [48] Naghsh-Nilchi, A. R. Mohammadi A. R. K. (2009). Cardiac Arrhythmias Classification Method Based on MUSIC, Morphological Descriptors, and Neural Network. *EURASIP Journal on Advances in Signal Processing*, 2008.
- [49] Nazmy, T.M., El-Messiry, H., Al-Bokhity, B. (2010). Adaptive Neuro-Fuzzy Inference System for classification of ECG signals. *The 7th International Conference on Informatics and Systems (INFOS)*, 1-6.
- [50] Nolle, F.M., Badura, F.K., Catlett, J.M., Bowser, R.W., Sketch, M.H. (1986). CREI-GARD, a new concept in computerized arrhythmia monitoring systems. *Computers in Cardiology*, 13, 515-518.
- [51] Nunes, J.C., Nait-Ali, A.(2005) Hilbert transform-based ECG modeling. *Biomedical Engineering*, 39, 133-137.
- [52] Owis, M., Abou-Zied, A., Youssef, A.B., Kadah, Y. (2001). Robust feature extraction from ECG signals based on nonlinear dynamical modeling. *23rd Annual International Conference IEEE Engineering in Medicine and Biology Society*, 2 ,1585-1588.
- [53] Paniri, M., Dowlatshahi, M.B., Nezamabadi-pour, H. (2019). MLACO: A multi-label feature selection algorithm based on ant colony optimization. *ScienceDirect*, 192.
- [54] Roopa, C.K., Harish, B.S, (2018). Interpretation of ECG using modified Intuitionistic fuzzy C-MEANS clustering for arrhythmia data. *ICTACT*, 09.

- [55] Roopa, C.K., Harish, B.S., Aruna Kumar S.V., (2018). A Novel Method of Clustering ECG Arrhythmia data using Robust Spatial Kernel Fuzzy C-Means. *Sience Direct*, 143, 133-140.
- [56] Sahoo, S., Dash, M., Behera, S., Sabut, S. (2020). Machine Learning Approach to Detect Cardiac Arrhythmias in ECG Signals: A Survey – *IRBM*.
- [57] Sahoo, S., Kanungo, B., Behera, S., Sabut, S. (2017). Multiresolution wavelet transform based feature extraction and ECG classification to detect cardiac abnormalities. *Measurement*, 108, 55-66.
- [58] Sakhare, P.B., Ghongade, R. (2015). An Approach for ECG Beats Classification using Adaptive Neuro Fuzzy Inference System. *Annual IEEE India Conference (INDICON)*, 1-6.
- [59] Sakhare, P.B., Ghongade, R. (2015). An approach for ECG beats classification using Adaptive Neuro Fuzzy Inference System. *Annual IEEE India Conference (INDICON)*. New Delhi, 1-6.
- [60] Shyu, L.Y., Wu, W.H., Hu, H.U. (2004). Using wavelet transform and fuzzy neural network for VPC detection from the holter ECG. *IEEE Transactions on Biomedical Engineering*. 51, 7, 1269-1273.
- [61] Song, M.H., Lee, J., Cho, S.P., Lee, K.J., Yoo, S.K. (2005). Support Vector Machine Based Arrhythmia Classification Using Reduced Features. *International Journal of Control, Automation and Systems*, 3, 571-579.
- [62] Spach, M.S., Kootsey, J.M. (1983) The nature of electrical propagation in cardiac muscle Am. J. Physiol. Heart Circ. *Physiol*, 244 (H), 3-22.

- [63] Taddei, A., Distante, G., Emdin, M., Pisani, P., Moody, G.B., Zeelenberg, C., Marchesi, C. (1992). The European ST-T Database: standard for evaluating systems for the analysis of ST-T changes in ambulatory electrocardiography. *European Heart Journal*, 13, 1164-1172.
- [64] Venkatesan, C., Karthigaikumar, P., Paul, A., Satheeskumaran, S., Kumar, R (2018). ECG Signal Preprocessing and SVM Classifier-Based Abnormality Detection in Remote Healthcare Applications. *IEEE*. 6, 9767-9773.
- [65] Venkatesan, C., Karthigaikumar, P., Varatharajan, R (2018). A novel LMS algorithm for ECG signal preprocessing and KNN classifier based abnormality detection. *Multimed Tools Appl* , 77, 10365–10374.
- [66] Warmerdam, G. J. J., Vullings, R., Schmitt, L., Van Laar, J. O. E. H., Bergmans, J. W. M. (2018). Hierarchical Probabilistic Framework for Fetal R-Peak Detection, Using ECG Waveform and Heart Rate Information. *IEEE Transactions on Signal Processing*, 66, 16, 4388-4397.
- [67] Yong, L.S., Yong, A.D., Hae, S.M., Joung, L.K. (2011). The Classification of Electrocardiograph Arrhythmia Patterns using Fuzzy Support Vector Machines , *International Journal of Fuzzy Logic and Intelligent Systems* ,11 , 204-210.
- [68] Zadeh, L.A. (1998). Fuzzy Logic University of California. *IEEE*, 4, 83-93.
- [69] Zhang, Y., Zhang, Y., Lo, B., Xu, W. (2019). Wearable ECG signal processing for automated cardiac arrhythmia classification using CFASE-based feature selection. *Expert Systems*, e12432.

- [70] Özcan, N.O., Gurgen, F. (2010). Fuzzy Support Vector Machines for ECG Arrhythmia Detection. *20th International Conference on Pattern Recognition*, 2973-2976.